

Figura II.4. Diagrama de estabilidade de fases Fe-Ni mostrando os campos de estabilidade da kamacita, taenita e taenita+kamacita.

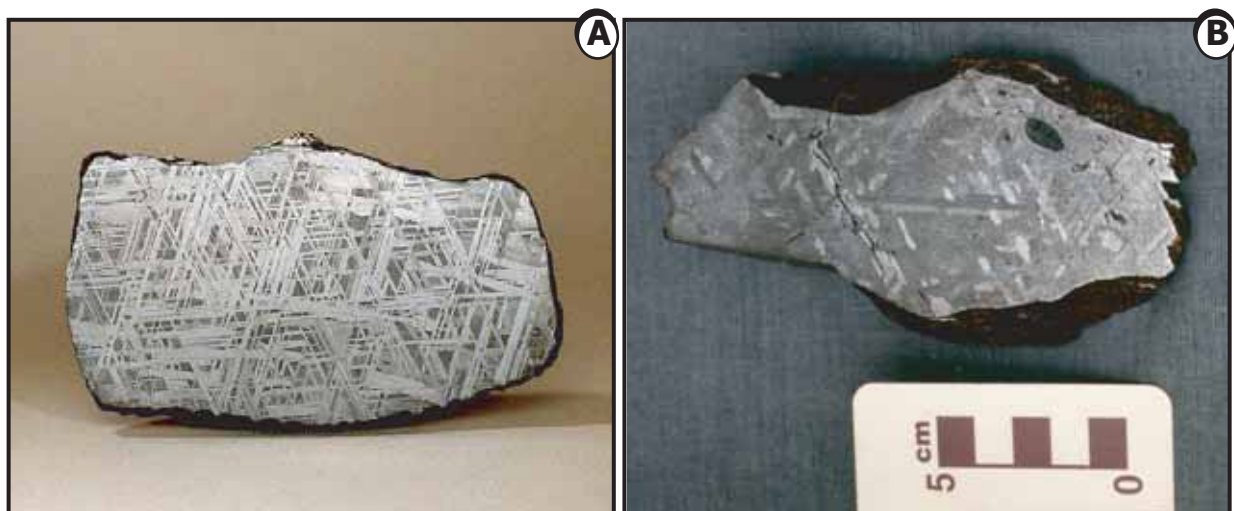


Figura II.5. Padrão de Widmanstätten. (A) Meteorito Rica Aventura (Chile), coleção Michael Farmer (Norton 2008). (B) Meteorito Bendegó (Bahia, Brasil), coleção Museu Geológico da Bahia.